Mizuche 実験の現状報告

2011年1月11日

第1章 Mizuche実験

Mizuche 実験とは、T2K 実験の前置検出器ホールにおいて振動前のニュートリノを小型の水チェレンコフ検出器 (総水質量 2.5 トン) によって測定するテスト実験である。T2K 実験の後置検出器であるスーパーカミオカンデと同じ検出原理 (チェレンコフ光)、同じニュートリノターゲット (水核子) を使用することで、それらに起因する測定誤差をキャンセルすることが期待できる。本実験の目標は次の二つである。

- 1. 振動前のニュートリノの数を精度良く測定する (目標精度 2%)
- 2. スーパーカミオカンデでのニュートリノ反応数の予測精度の向上

上記目標の達成に向けた本テスト実験の第一段階として、大強度ニュートリノビーム環境下においても水チェレンコフ検出器が有効であることを実証する。

第2章 実験原理

使用する小型の水チェレンコフ検出器は、半径 70cm 長さ 160cm のタンクの周りに 164本 の PMT を等間隔に取り付け、内部で発生したチェレンコフ光をとらえる。タンクの内部に はアクリルで仕切った領域 (Fiducial volume (FV)) があり、FV内と FV外 (Outer volume (OV)) は独立に水を充填できる。この FV 内の水を抜き差し、それらのニュートリノ測定 数の差から FV 内で発生したニュートリノ測定数を見積もる (式 2.1)。

$$N_{\rm FV}^{obs} = N_{\rm (w/\ FVwater)}^{obs} - N_{\rm (w/o\ FVwater)}^{obs}$$
 (2.1)

 $(N_{
m FV}^{obs}$ は求めたい FV 内でのニュートリノ測定数、 $N_{
m (w/\ FVwater)}^{obs}$ は FV 内に水がある場 合の測定数、 $N_{(\mathrm{w/o~FVwater})}^{obs}$ は FV 内に水がない場合の測定数。)

図 2.1 に実験原理の概略を載せる。FV 内の水の差し引きを行うことで、FV 外での反応 や、タンク外からの荷電粒子によるイベントはキャンセルでき、FV 内で起こったニュート リノ反応を数えることができる (式 2.2、2.3)。

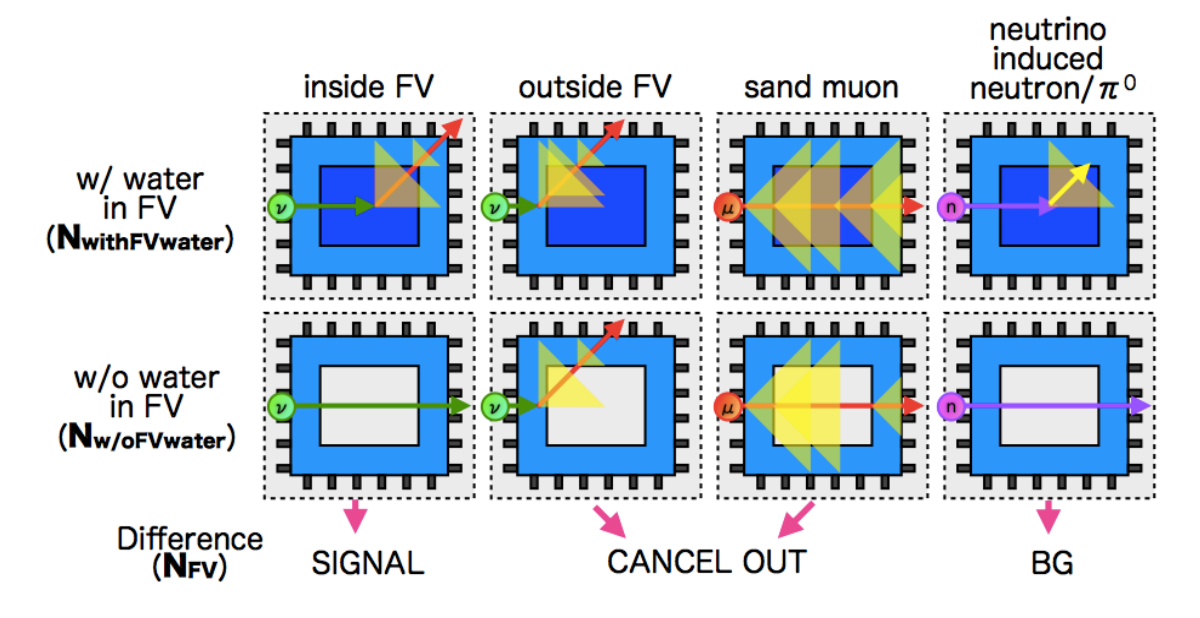


図 2.1: Mizuche 実験の原理。上の四つの図が FV 内に水がある場合、下の図が水がない場 合を示す。水がある場合とない場合とで FV 内部で発生したニュートリノ反応の分だけイ ベント数が異なる。

$$N_{(\text{w/ FVwater})}^{obs} = N_{\text{FV}}^{int} \times \epsilon_{\text{FV}} + N_{\text{OV}}^{int} \times \epsilon_{\text{OV}}^{(\text{w/ FVwater})}$$

$$N_{(\text{w/o FVwater})}^{obs} = N_{\text{OV}}^{int} \times \epsilon_{\text{OV}}^{(\text{w/o FVwater})}$$

$$(2.2)$$

$$N_{(\text{w/o FVwater})}^{obs} = N_{\text{OV}}^{int} \times \epsilon_{\text{OV}}^{(\text{w/o FVwater})}$$
 (2.3)

 $(N_{\rm FV}^{int},N_{\rm OV}^{int}$ は FV 内、FV 外 (OV 内) でのニュートリノ反応数、 $\epsilon_{\rm FV}$ は FV 内で反応下ニュートリノに対する検出効率、 $\epsilon_{\rm OV}$ は FV 外で反応したニュートリノに対する検出効率) この原理において、次の二つのことが重要な問題になる。

- 水がある場合の FV 外でのニュートリノ反応に対する検出効率 $(\epsilon_{OV}^{(w/\ FVwater)})$ と水がない場合の FV 外でのニュートリノ反応に対する検出効率 $(\epsilon_{OV}^{(w/o\ FVwater)})$ が一致する。
- タンク外から来た中性子が FV 内部で反応してチェレンコフ光を出したイベントを ニュートリノ反応と間違って数えてしまう

1番目が保証できなければ、水の抜き差しをして測定したイベント数の差をとっても、FV外でのニュートリノ反応数がうまくキャンセルせずに、バックグラウンドとなってしまう。 2番目の外部からのバックグラウンドに関しては現在 T2K 実験の測定データやシミュレーションからその数を見積もっている。

本レポートでは主にモンテカルロシミュレーション (MC) によるニュートリノ反応に対する検出効率の見積もりについて報告する。

第3章 モンテカルロシミュレーションによる 検出効率の見積もり

3.1 検出器シミュレートの概略

図3.1にシミュレーションの概略を示す。

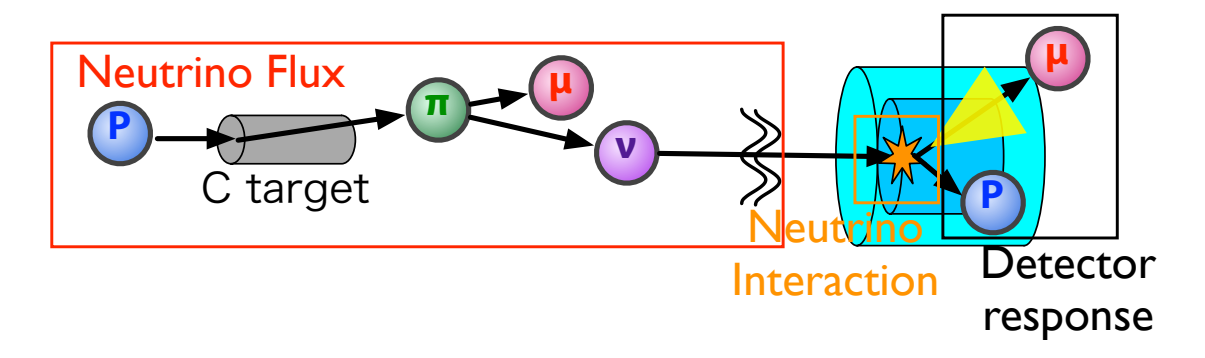


図 3.1: MC 全体像

検出器シミュレーションは以下のステップで行った。

1. 本検出器位置でのニュートリノフラックス

T2K ニュートリノビームシミュレーション (JNUBEAM) を使用して、本検出器の設置 場所でのニュートリノフラックスを作成。

2. ニュートリノ反応

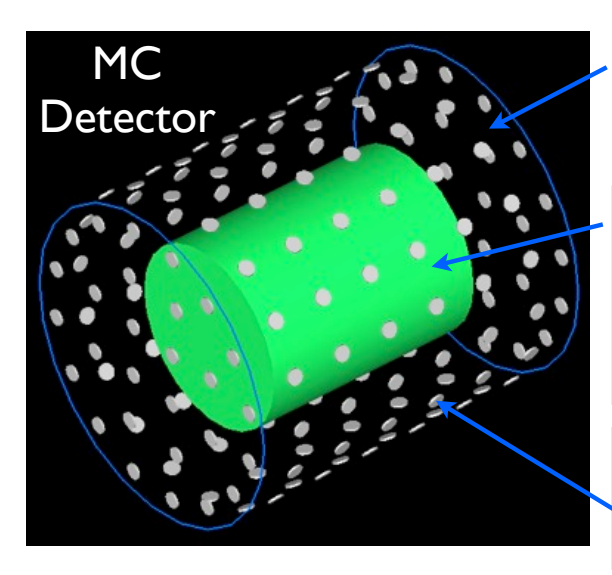
JNUBEAM で作成したフラックスを元に、ニュートリノ反応シミュレーション (NEUT) を使用して、水とのニュートリノ反応をシミュレート

3. 検出器内での反応

GEANT4によって検出器実機を再現し、ニュートリノ反応によって生成された荷電粒子によるチェレンコフ光生成をシミュレートした。

3.2 検出器のジオメトリ

図3.2のようにGeant4内で検出器実機を再現した。



タンク:

半径70cm, 長さ1.6m

FV(アクリルチューブ): 半径40cm, 長さ1m, 厚さ 5mm,8mm

PMT × 164本 : 窓の半径3.5cm

図 3.2: MC内での検出器のジオメトリ。

タンク内壁で光子が反射しないようにした(検出器実機のタンク内壁は黒くする). アクリルの表面は滑らかなものと仮定し、理想的な反射・屈折を行うように設定。アクリル・水の屈折率は以下の表 3.2 のように設定した。水の屈折率はなるべく現実に即した値に、アクリルについては今回は一定とした(現在、カタログ値を元に値を入れている)。水中での光子の吸収率も波長に応じた値を考慮している。

表 3.1: MC で設定した水とアクリルの屈折率水 1.34~1.36 (光の波長に依存して変化)アクリル 1.49 (一定値)

3.2.1 典型的なイベントディスプレイ

図 3.3、図 3.4 はそれぞれ、FV に水がある状態、ない状態でのイベントディスプレイである。

3.3 Mizuche 検出器位置でのニュートリノビームフラックス

Mizuche の設置場所でのニュートリノビームフラックスを図 3.5 に示す。また、その時に反応するニュートリノのエネルギー分布を式 3.6 に示す。

3.4 ニュートリノ反応エネルギー分布

図 3.6 に Mizuche 検出器内で反応したニュートリノのエネルギー分布を示す。色の違いは反応モードの違いを表し、赤網掛け線は荷電カレント反応、青網掛け線は中性カレント反応の場合を示す。スペクトルのピークエネルギーは約 700MeV であるとわかる。

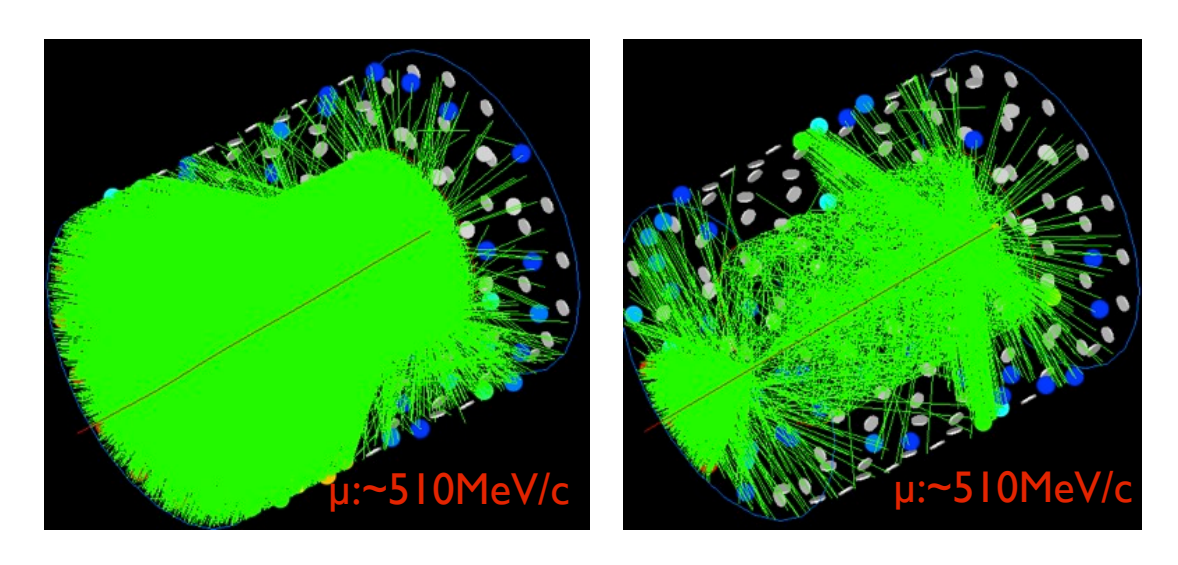


図 3.3: FV 水あり状態のイベントディスプ 図 3.4: FV 水なし状態のイベントディスプ レイ。入射ニュートリノエネルギー E_{ν} =0.56 レイ。入射ニュートリノエネルギー E_{ν} =0.56 GeV、生成したミューオンの運動量 p_{μ} =510 GeV、生成したミューオンの運動量 p_{μ} =510 MeV/c、PMT に入射した全光電子数 860 p.e. MeV/c、PMT に入射した全光電子数 273 p.e.

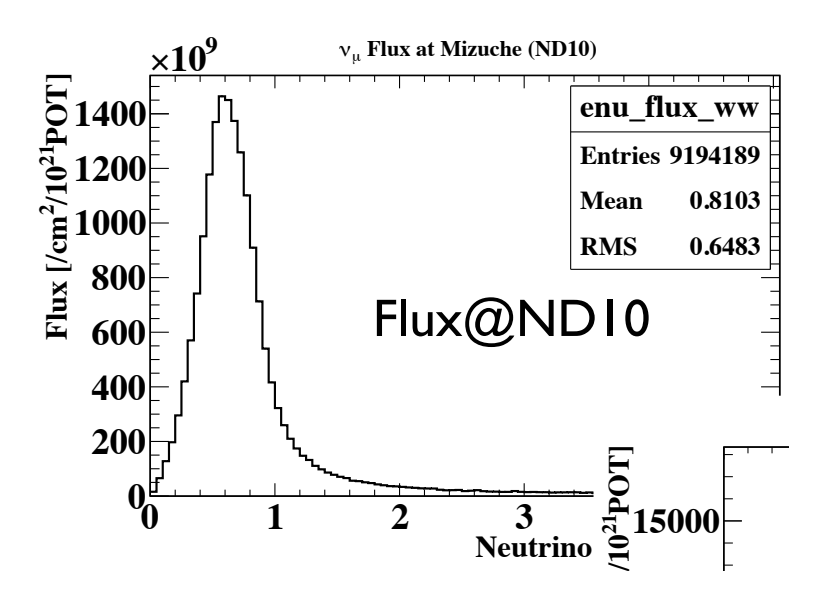


図 3.5: Mizuche の設置場所でのニュートリノビームフラックス。

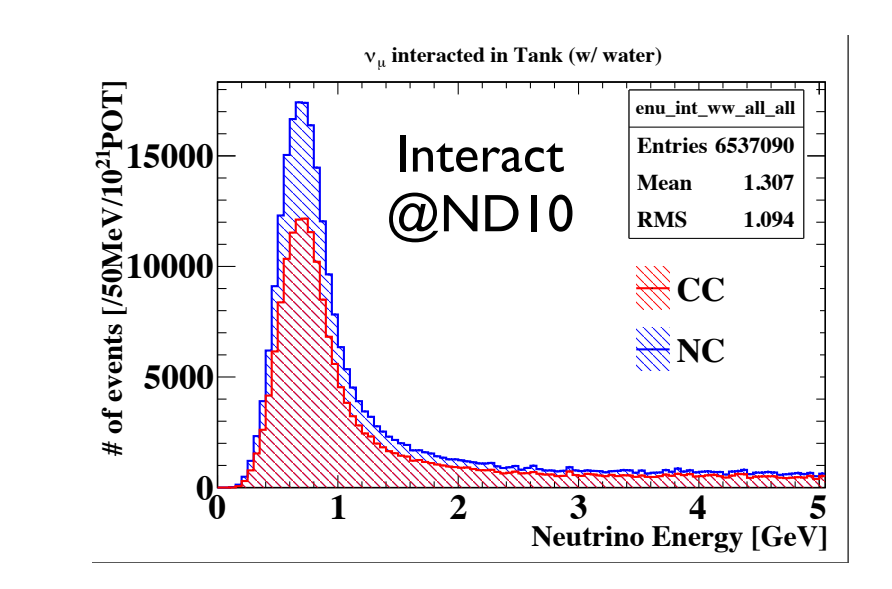


図 3.6: Mizuche 検出器内で反応するニュートリノ数。赤線:荷電カレント (CC) 反応、青線:中性カレント (NC) 反応

3.5 光電子数分布

ニュートリノ反応に対して、期待される総光量分布を示す。FV内に水あり、水なしの2 状態でシミュレーションしたときに検出された全光電子数を図3.7に示す。

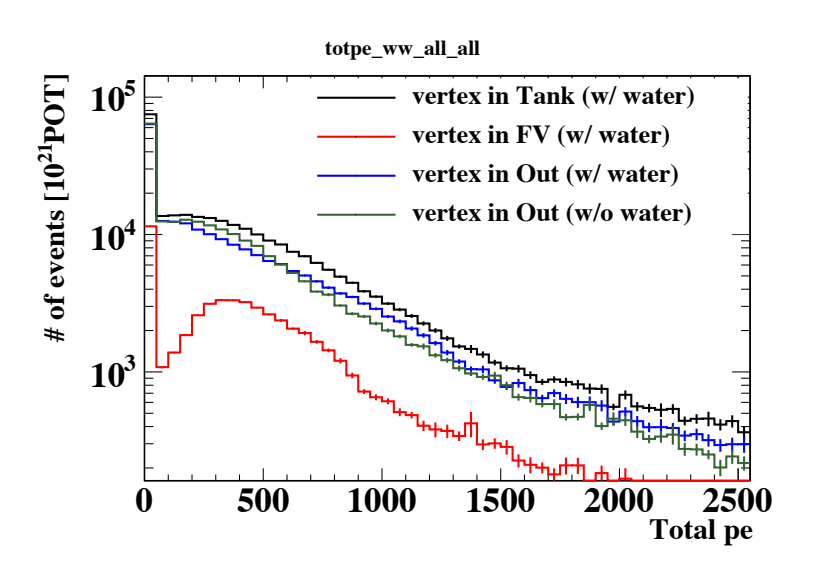


図 3.7: 期待される総光量分布

図3.7の各ラインの説明は次の通り。

vertex in Tank (w/ water) FV 内に水ありの状態で、タンク全体でニュートリノが反応した場合

vertex in OV (w/o water) FV 内に水なしの状態で、FV 外 (OV 内) でニュートリノが 反応した場合

vertex in FV (w/ water) FV 内に水ありの状態で、FV 内でニュートリノが反応した 場合

vertex in OV (w/ water) FV 内に水ありの状態で、FV 外でニュートリノが反応した場合

実験で測定する分布としては、黒色 (vertex in Tank (w/ water)) と緑色 (vertex in OV (w/o water)) になる。

3.5.1 ニュートリノ反応に対する検出効率

観測できた全光電子数によるカットを掛け、その時のニュートリノ反応に対する検出効率を見積もった。図 3.8 は横軸を、カットをかけた全光電子数の値にし、縦軸に検出効率をプロットしてみたものである。50~200p.e. の範囲でカットをかけるならば、FV 外で反応するニュートリノの検出効率はほぼ一致していることが分かる。

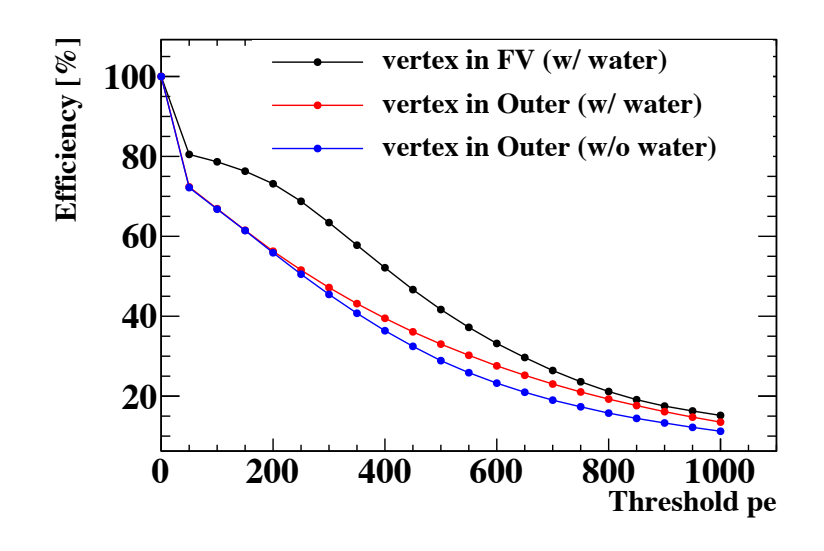


図 3.8: 総光量によるカットの閾値と検出効率の関係

FV 外の水の厚さは 30cm であり、ミューオンがその領域を通った場合に観測される総光量は 150p.e. と計算される。ここでは、150p.e. の光量カットを描けた場合の検出効率を詳しく見ていく。

FV 内でのニュートリノ反応に対する検出効率

FV内部で反応したニュートリノに対する検出効率を図 3.9 に示す。線の色の違いは反応モードの違いを表す。赤線は荷電カレント反応のみ、黒線は荷電カレント反応と中性カレント反応を区別せずに算出した検出効率を表す。荷電カレントに対しては 200MeV のあたりから検出効率が急激に立ち上がり、700MeV 以上では 90%以上の高い検出効率が期待される。

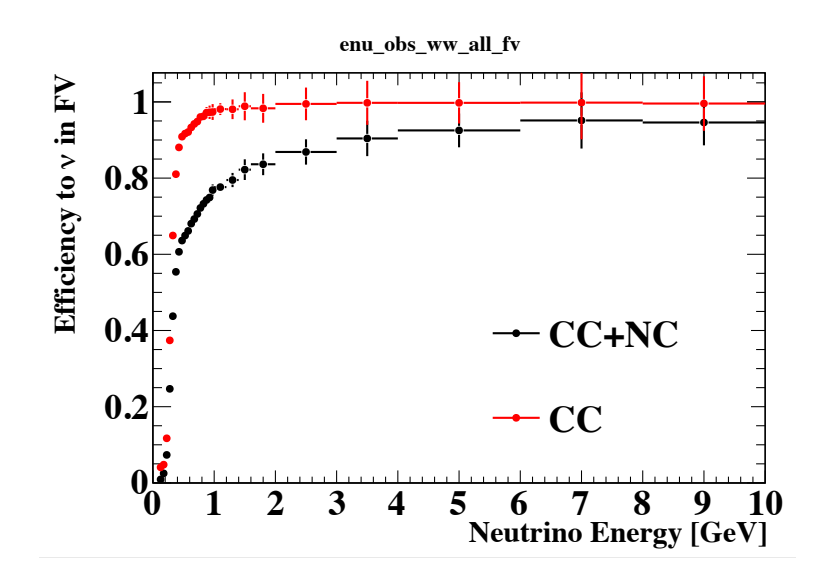


図 3.9: FV 内での検出効率

FV 外でのニュートリノ反応に対する検出効率

FV 外でのニュートリノ反応に対する検出効率を、水ありなしの場合について見積もった。その結果は図 3.10 となる。

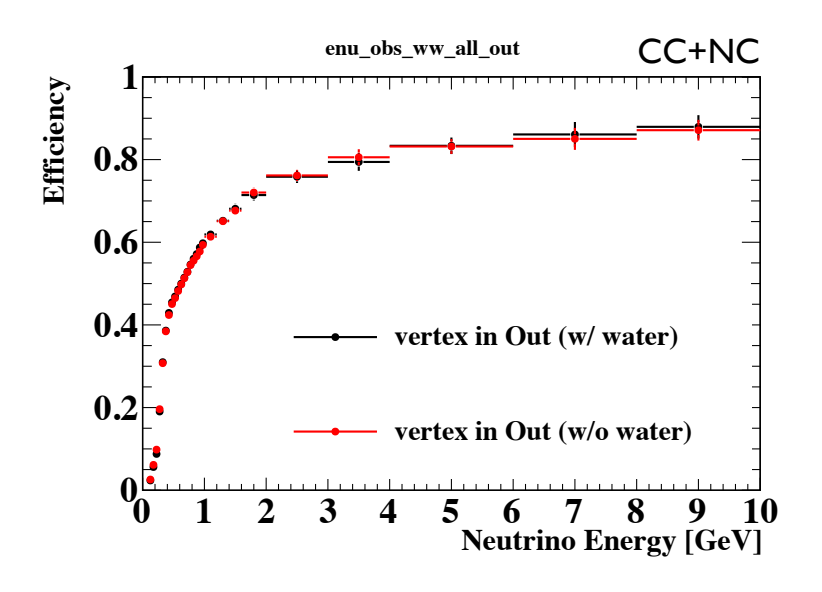


図 3.10: FV 外での検出効率

全エネルギー領域に置いて、FV内に水がある場合とない場合の検出効率がMCの統計の範囲内で一致している。このことから、外部からのバックグラウンドがないと仮定すると、実験原理のように水を抜き差しした場合の測定数の差をとることで、FV内でのニュートリノ反応のみを数えることができる。

3.5.2 シグナルに対するバックグラウンドの割合

ここでは、FV 外で反応したニュートリノイベントの内、水の差し引きで残るイベント (バックグラウンド) が、FV 内で反応したニュートリノイベント (シグナル) に対してどの 程度あるかを見積もった (S/N の逆数の見積もり)。計算式としては、次の通り

$$(S/N)^{-1} = \frac{N^{(\text{w/ FVwater})}(\text{after total p.e. cut}) - N^{(\text{w/o FVwater})}(\text{after total p.e. cut})}{N_{\text{FV}}(\text{event vertex in FV})}$$
(3.1)

図 3.11 は光量カットに対する $(S/N)^{-1}$ を示す。光量カットが 200p.e. 以下の場合、残ってしまう FV 外での反応数はシグナルに対して小さいことがわかる。

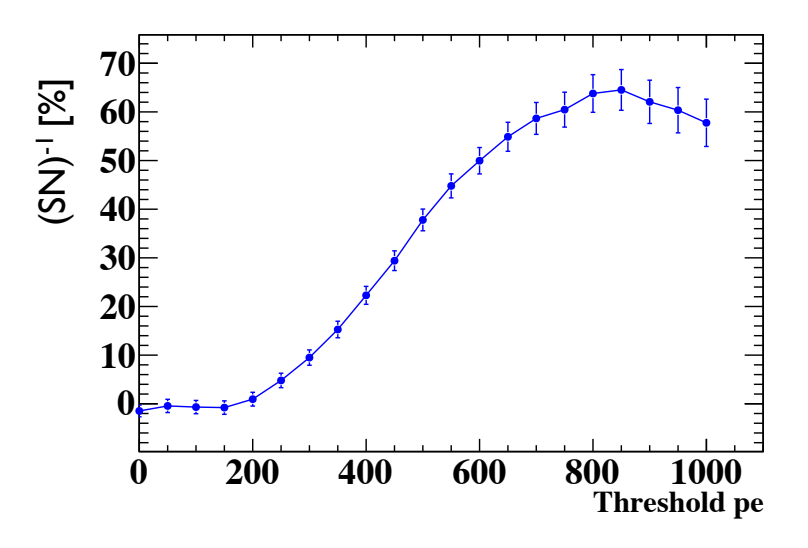


図 3.11: $(S/N)^{-1}$ と総光量カットの閾値の関係

図 3.12 は光量カット >150p.e. をかけた場合の $(S/N)^{-1}$ のエネルギー依存性を表す。このプロットより、エネルギースペクトルにおいてピーク付近の $700 \mathrm{MeV}$ あたりでは、 $(S/N)^{-1}$ が約 3% と低いバックグラウンドの環境下での測定が期待できる。

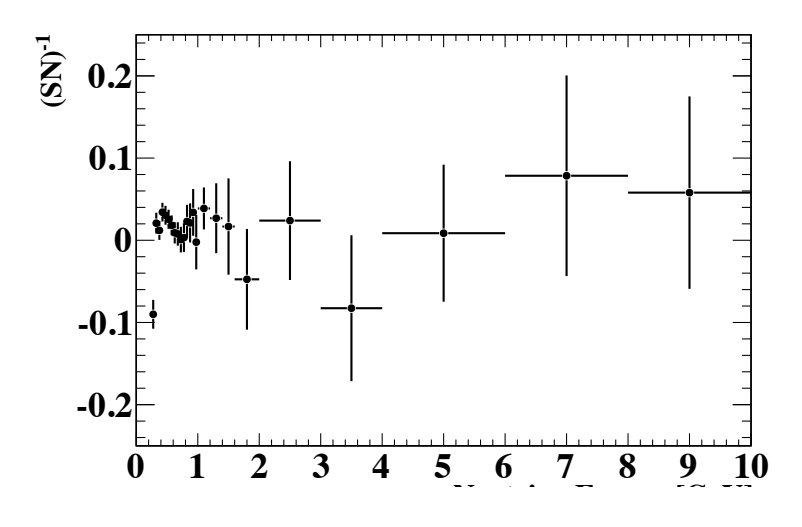


図 3.12: N/S と Energy

3.5.3 まとめ

本章で述べてきた MC スタディの結果より、

- 総光量 > 150 p.e. のカットを行えば、FV 外で反応したニュートリノに対する検出 効率は水がある場合でもない場合でも同じ。このことから実験原理のように水の差し 引きでうまく FV 内で反応したニュートリノの数を数えることができる。
- このとき、反応したニュートリノを高い $S/N((S/N)^{-1}=3\%)$ で測定できる。

ということが言える。

次に、実際の検出で測定する際に、検出器が性能通り (MCの予測通り) 動いているかを確かめる (キャリブレーションする) 方法について述べる。この方法としてはいくつかの解があるが、現時点では T2K ビームを用いた方法を検討している。実際の実験の場所でキャリブレーションを行うことで、スムーズに本実験に移ることができる。

3.6 検出器キャリブレーション

3.6.1 キャリブレーションの手段

検出器のキャリブレーションとして、検出器実機を T2K 前置検出器ホール地下 B2 に設置し、ビーム起源の壁からのミューオン (ロックミューオン) による光量測定を行う。

T2K 実験のビームラインで生成されたニュートリノビームが前置検出器ホールに到達した際、一部は検出器ではなくホール壁中の物質と反応する。その際ミューオン (壁ミューオン)が生成され、運動量の高いものは壁から出て検出器に到達する。そのミューオンをトリガーするシステムを本検出器に組み込むことで、壁ミューオンによる信号を選択する。

3.6.2 壁ミューオンの光量測定

壁ミューオンレート

壁ミューオンがどの程度 Mizuche 検出器に飛来するかを見積もる。これには T2K 実験のニュートリノホールに設置されたニュートリノビームモニターのデータを用いる。

- INGRID の解析でトラッキングまで行い、ニュートリノイベントではなく、モジュール外から来た長いトラックを残す粒子を選ぶ。この粒子をロックミューオンと仮定する。
- 2010 年の T2K 物理データを元にイベントレートを見積もると、 471800 events / 3.2 e19 # of protons (全モジュール)。この数はニュートリノイベントと同程度。
- INGRID のロックミューオン検出効率を1と仮定する。
- INGRID と Mizuche の面積比から、タンク上流から飛来するロックミューオンのレートを見積もると、92.7 muons / hour (100kW 時)。10 時間で ~1e3 muons、1 週間で ~1e4 muons。

この見積もりから、10時間程度の測定で十分な統計が得られることがわかった。

MC による期待される検出器の応答

壁ミューオンによるシグナルがどのように見えるのかを MC を用いて予測する。ここではその際の MC のセットアップについて述べる。

まず、ミューオンを Figure 3.13 のようにタンク上流から打ち込む。

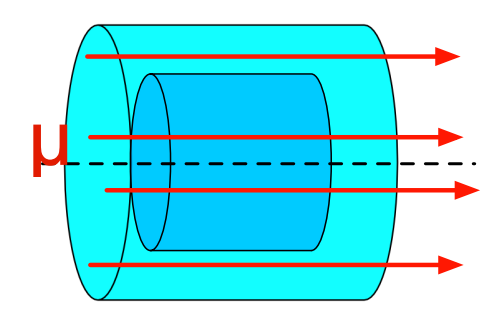


図 3.13: MC でタンク上流からミューオンを打ち込む様子。タンク中心の濃い水色が FV 領域、周りの薄い領域が Outer 領域を示す。

打ち込むミューオンの条件は次の通り。

- 運動エネルギー 450~1450MeV の間で一様乱数を振り決定。
- 入射方向は、タンクの中心軸に対して平行に。
- 初期位置 (vertex) はタンク上流の蓋上で一様に決定。

解析の際には、実際のタンクを貫通したミューオンのみを選択する。FV 内に水がある場合と、ない場合の二通り。MC の結果は 927 muons (100kW の 10 時間運転) で規格化する。 Figure 3.14 に MC のイベントサンプルを載せる。

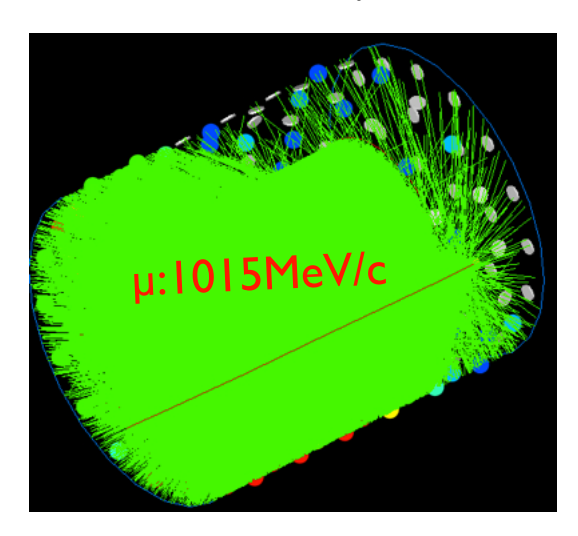


図 3.14: MC でタンク上流からミューオン (運動量= $1015 \mathrm{MeV/c}$) を打ち込んだ際のイベントディスプレイ。赤色のトラックがミューオン、緑色が光子を表す。タンクの表面についている円が PMT を表し、灰色が HIT がないもの、それ以外が光量に応じて青色から赤色に色が変わっている。このイベントの測定される総光量は $1148 \mathrm{p.e.}$

期待される総光量

FV内の水の有無と、ミューオンの vertex の位置によって場合分けして、測定される総光量分布をプロット。このときの vertex の場合分けの定義は Figure 3.15 の通り。Figure 3.16 に光量の一次元分布を、Figure 3.17 に FV 内に水がある場合の総光量と中心からの距離 (の二乗) の二次元分布を、Figure 3.18 に FV 内に水がない場合の二次元分布をプロットする。実際の測定時は、ミューオンの通過位置をずらしながら数回測定することで、Figure 3.17、3.18 のような中心からの距離に応じた光量のプロットを作成。その結果を MC と比較、検出器の応答の理解につなげる。

検出器実機のキャリブレーションの方法

タンク上流と下流ににトリガー(ホドスコープ、シンチレータ)を設置し、タンクを突き抜けるロックミューオンをトリガーする。Figure 3.17、3.18 のようなプロットを作成するために、トリガーの位置を変えつつ測定を数回行う。見積もったロックミューオンレートを元にすると、10 時間で $\sim 1e3$ ミューオンが期待されるので、トリガーの設置時間などを含めて、各位置で 1 日の測定を行う。具体的な案 (トリガーに使用する検出器の具体案) は現在検討中。

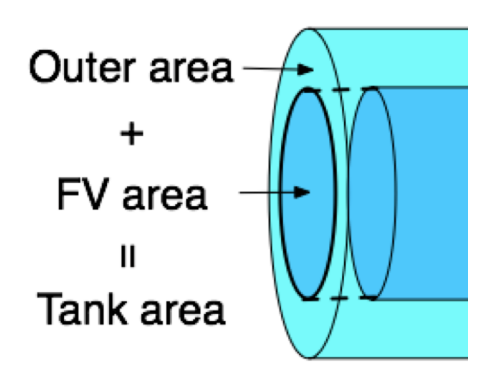


図 3.15: ミューオンの vertex の場合分けの定義。タンク上流の蓋上で、中心から 40cm 以内を FV 領域 (濃い水色)。それ以外を Outer 領域 (淡い水色) と呼ぶ。(タンク上流の蓋上に各領域を射影した形)

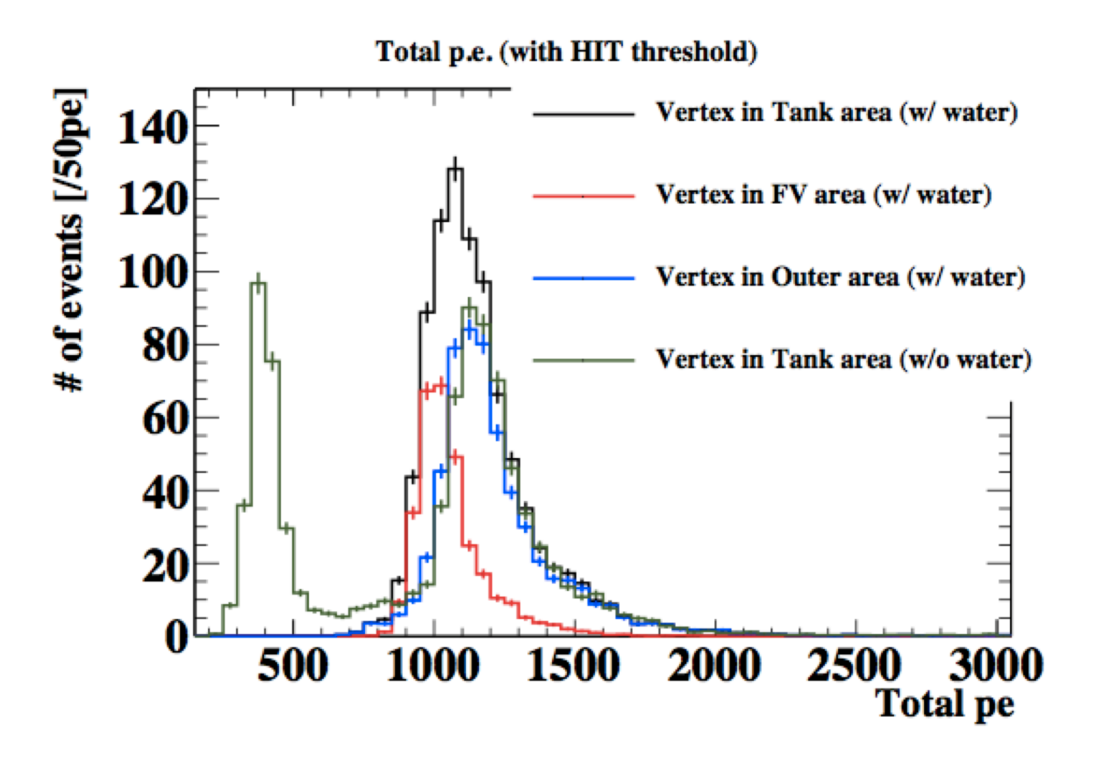


図 3.16: 測定される総光量の一次元分布。黒色が水がある場合でミューオンの vertex がタンク上流全体。赤色が水がある場合で vertex が FV 領域内。青色が水がある場合で vertex が Outer 領域内。緑色が水がない場合でタンク上流全体。

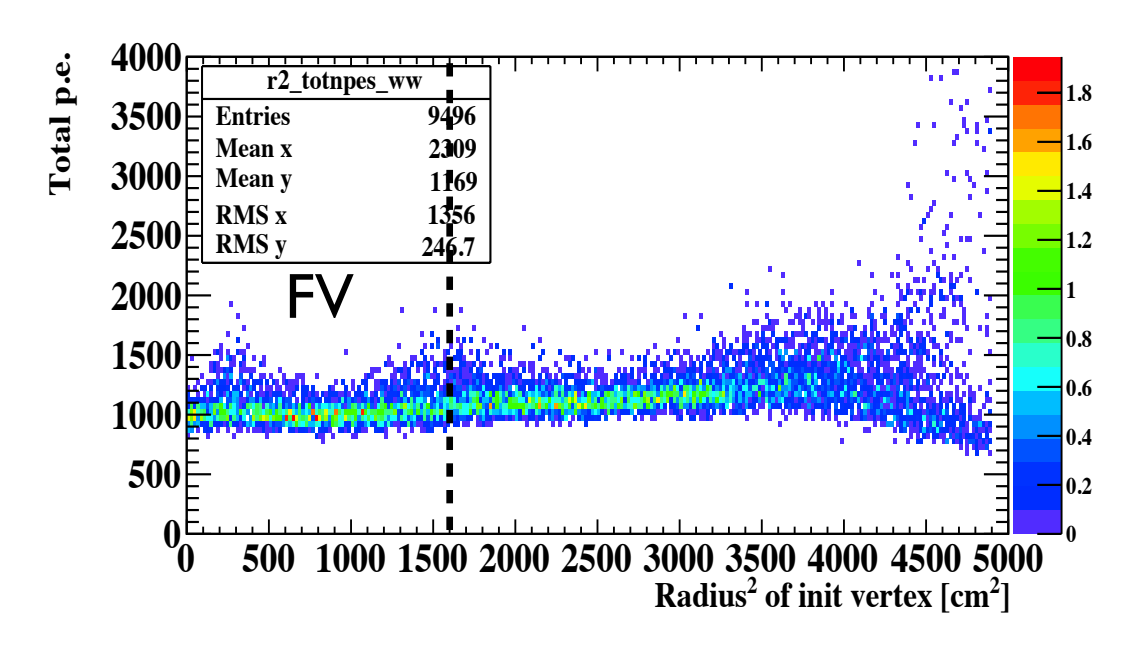


図 3.17: FV 内に水がある場合の、測定される総光量とタンク中心からの距離の二次元分布。横軸が中心からの距離の二乗、縦軸が測定される総光量を表す。黒い点線が FV の境界を表す。

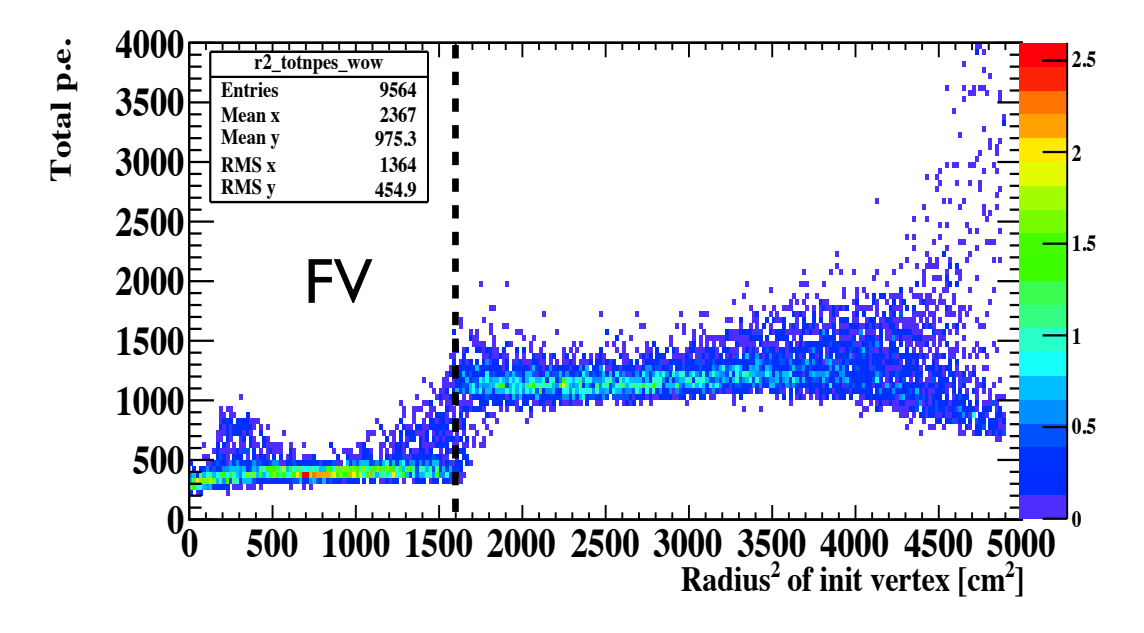


図 3.18: FV 内に水がない場合の、測定される総光量とタンク中心からの距離の二次元分布。横軸が中心からの距離の二乗、縦軸が測定される総光量を表す。黒い点線が FV の境界を表す。

3.7 現在の実験の進行状況

現在の実験の状況を箇条書きで簡単に報告する。

- タンクのインストール:ニュートリノホール地下 B2 に設置済み (アンカーによる 固定)。
- PMT の設置: タンクへの設置は専用の固定具に PMT を取り付けた後に行う。それらに必要な固定具は製作済み、後は実際に作業を行うのみ (PMT の設置作業は全行程含めて 10 日ほどかかる)。
- 水の準備:水のバッファータンクを地下に設置、2トンの水 (実験には2.5トン必要) をタンク内に貯水済み。循環系もタンクへの接続以外は完成しており、現在は水をイ オン交換樹脂に通すことで水の純化を行っている。水漏れは現在のところない。
- 読み出しシステム:エレキハウスの設置が完了し、必要な機器の設置も完了。実際のビームトリガーを用いた読み出しのテストに成功。現在は読み出し機器 (ATM) のキャリブレーションを行っている。
- ケーブリング:必要なケーブルはすべてそろっている。ケーブルの配線は PMT の設置を行った後に行う予定。
- PMT キャリブレーション:実験に必要なゲインカーブ、相対 QE の測定は予備を含めた全 PMT に対して完了した。
- 宇宙線測定:既に行っているが、結果の一部に不明な点があるため、1月中に再度 行う。
- ロックミューオン測定の準備:トリガーとして同じく J-PARC で行われている Koto 実験で使用されていたホドスコープの使用を検討中。現在ホドスコープ実機を借りてきて、テスト中。また、平行して別の解も検討中。

主要メンバーの高橋が2月頭まで修論の執筆に専念するため、修論終了後、PMTの取り付け、ケーブルリングを行い、3月頭にはビーム測定の準備を完了させる。